

а безусловное рассеяние оценки [2] равно

$$V_m(\widehat{\chi}) = \frac{(3p_0 + 5p_1)(\chi_{\max} - \chi_{\min})^2}{24} + \frac{p_0(\chi_{\max} + \chi_{\min})^2}{4}.$$

Значения  $V_m(\chi_m)/\chi_{\max}^2$  и  $V_m(\widehat{\chi})/\chi_{\max}^2$  отмечены штриховой линией на рис. 2 и 4. Анализ зависимостей рис. 2, 4 показывает, что экспериментальные значения безусловного рассеяния оценки [1] могут быть более точно аппроксимированы выражением

$$V_1(\chi_m) = \min(V(\chi_m), V_m(\chi_m)), \quad (6)$$

а значения рассеяния оценки [2] — выражением

$$V_1(\widehat{\chi}) = \min(V(\widehat{\chi}), V_m(\widehat{\chi})), \quad (7)$$

где  $V(\chi_m)$  и  $V(\widehat{\chi})$  — теоретические характеристики, соответствующие результатам [1, 2]. При  $\mu \geq 10$  характеристики оценок (6), (7) хорошо согласуются с экспериментальными зависимостями, когда величина  $q\sqrt{\mu} \geq 8 - 10$  или  $q\sqrt{\mu} \leq 0,1 - 0,8$ .

Таким образом, проведено исследование алгоритмов оценки площади оптического изображения методом статистического моделирования на ЭВМ. Определены границы применимости известных в литературе [1, 2] асимптотически точных выражений для характеристик алгоритмов.

#### СПИСОК ЛИТЕРАТУРЫ

1. Галун С. А., Зюльков А. В., Трифонов А. П. Оценка площади оптических изображений на фоне шумов // Автометрия.— 1983.— № 1.
2. Нечаев Е. П., Трифонов А. П. Оценка площади пропадающего оптического изображения на фоне шумов // Автометрия.— 1987.— № 3.
3. Бусленко Н. П., Шрейдер Ю. А. Метод статистических испытаний (Монте-Карло) и его реализация на цифровых вычислительных машинах.— М.: Изд-во физ-мат. лит., 1961.
4. Форсайт Дж., Малькольм М., Моулер К. Машинные методы математических вычислений: Пер. с англ. Х. Д. Икрамова.— М.: Мир, 1980.
5. Трифонов А. П., Шипаков Ю. С. Совместное различение сигналов и оценка их параметров на фоне помех.— М.: Радио и связь, 1986.

Поступила в редакцию 16 марта 1988 г.

УДК 771.64

Л. А. АЙЗЕНБЕРГ, Б. А. КРАВЦОВ, Б. А. ШАЙМКУЛОВ  
(Красноярск)

#### ОБ ИНТЕРПОЛЯЦИИ СИГНАЛОВ С ФИНИТНЫМ СПЕКТРОМ ФУРЬЕ. ВЫЧИСЛИТЕЛЬНЫЙ ЭКСПЕРИМЕНТ

1. Теоретическая часть. Рассмотрим класс Винера  $W_\alpha^n$  (соответственно  $W_{\alpha,+}^n$ ) функций из  $L^2(R^n)$ , имеющих спектр Фурье, сосредоточенный в параллелепипеде  $\{w: |w_j| \leq \alpha_j, j = 1, \dots, n\} \subset R^n$  (соответственно в  $\{w: 0 \leq w_j \leq \alpha_j, j = 1, \dots, n\} \subset R_+^n = \{x: x_j \geq 0, j = 1, \dots, n\}$ ). В [1, 2] рассматривалась задача экстраполяции функций этого класса, что связано с известной проблемой увеличения разрешения физических приборов (вычислительный эксперимент см. в [3, 4], а также в [5]). В дальнейшем оказалось, что формулы экстраполяции из [1, 2] вполне пригодны и для интерполяции функций класса Винера [6]. Напомним соответствующие формулы, ограничиваясь для простоты записи одномерными сигналами ( $n = 1$ ). Рассмотрим произвольное множество единственности  $M$  для

функций класса  $W_\alpha^1$ , лежащее на действительной оси и не имеющее конечных предельных точек  $M = \{x_j\}$ ,  $j = 1, 2, \dots$ . Не уменьшая общности, можно считать, что  $M$  не содержит точки 0. Если  $\sum_{j=1}^{\infty} \frac{1}{x_j^2} = \infty$ , то  $M$  — заведомо множество единственности для каждого класса  $W_\alpha^1$ , и если  $f \in W_\alpha^1$ , то

$$f(x) = \lim_{m \rightarrow \infty} \sum_{k=1}^m \frac{f(x_k) \exp [2\pi i \alpha (x_k - x)] 2i\sigma}{x - x_k + 2i\sigma} \prod_{\substack{j=1 \\ j \neq k}}^m \frac{(x - x_j)(x_k - x_j + 2i\sigma)}{(x - x_j + 2i\sigma)(x_k - x_j)} \quad (1.1)$$

при любом  $\sigma > 0$ . Сходимость в (1.1) равномерная на компактах и в смысле  $L^2(R^1)$ . Если же  $f \in W_{\alpha,+}^1$ , то в (1.1) следует исключить множитель  $\exp [2\pi i \alpha (x_k - x)]$ .

Более трудным является случай такого множества единственности для класса  $W_\alpha^1$ , для которого  $\sum_{j=1}^{\infty} \frac{1}{x_j^2} < \infty$ . Здесь при очень широких предположениях будет справедлив аналог (1.1) с дополнительным предельным переходом при  $\sigma \rightarrow \infty$  [6]. Часто бывает удобно иначе пронумеровать точки  $M = \{x_j\}$ ,  $j = 0, \pm 1, \pm 2, \dots$  и рассматривать формулу (см. [6])

$$f(x) = \lim_{\sigma \rightarrow \infty} \sum_{k=-m(\sigma)}^{m(\sigma)} \frac{f(x_k) 2i\sigma \exp [2\pi i \alpha (x_k - x)]}{x - x_k + 2i\sigma} \prod_{\substack{j=-m(\sigma) \\ j \neq k}}^{m(\sigma)} \frac{(x - x_j)(x_k - x_j + 2i\sigma)}{(x - x_j + 2i\sigma)(x_k - x_j)}, \quad (1.2)$$

где  $m(\sigma)$  — любая функция при условии  $\sup \frac{\sigma}{m(\sigma)} < \infty$ , сходимость в (1.2) равномерна на компактах в  $R^1$ . Известная классическая теорема Котельникова дает простую формулу для интерполяции функций класса Винера  $W_\alpha^1$  в случае равномерных отсчетов  $M = \{j\Delta\}$ , где  $\Delta \leq 1/2\alpha$  [7, 8].

(Мы рассматриваем преобразование Фурье в виде  $\int_{-\infty}^{\infty} f(x) \exp [-2\pi i \omega x] dx$ , который используется в стандартных программах для ЭВМ, поэтому последнее неравенство и некоторые используемые далее оценки несколько отличаются от привычных.) Формулы (1.1) и (1.2) являются аналогами теоремы Котельникова для неравномерных отсчетов. Укажем, например [6], что (1.2) верно, если  $M = \{j\Delta + C_j\}$ , где: 1) если  $\Delta = 1/2\alpha$ , то  $|C_j| \leq L < 1/8\alpha$ ; 2) если  $\Delta < 1/2\alpha$ , то  $|C_j| \leq L$ , здесь  $L$  — любое, и можно в случае 2 конечное число точек из  $M$  выбросить.

Заметим, что для экстраполяции спектров Фурье финитных сигналов (множество  $M$  — на компакте) нужно знать  $f(x_k)$  с высокой точностью [3, 4], а для интерполяции между отсчетами высокая точность  $f(x_k)$  уже не обязательна. Дело в том, что задача экстраполяции не является корректной, а лишь условно устойчивой (об этих понятиях см. в [9]). Задача же интерполяции обычно корректна. Для случая 2 это следует из теоремы Картрайт и ее обобщений [10—14]. Если  $f$  — целая функция конечной степени типа не больше  $a$  — и  $|f(x_k)| \leq \epsilon$ , то

$$|f(x)| \leq C(M) \epsilon, \quad (1.3)$$

где  $x \in R^1$ , постоянная  $C(M)$  зависит только от множества  $M$ , но не от  $f$ . Класс множеств  $M$ , для которых это верно, зависит от  $a$ . В отмеченном выше случае  $W_\alpha^1$  тип не больше  $2\pi\alpha$  и соответствующая теорема для  $M$ , указанных в 2, верна. Для равномерной сетки при  $\Delta < 1/2\alpha$  соблюдаются условия классической теоремы Картрайт. Для несколько более общего случая  $M_\mu = \{x_j\}$ ,  $j = 0, \pm 1, \pm 2, \dots$ ,  $0 < x_{j+1} - x_j \leq 1/2\alpha\mu$ , где  $\mu > 1$ , неравенство вида (1.3) можно найти [15, с. 448, 607] (оценка

точная хотя бы для некоторых  $\mu$ ):

$$|f(x)| \leq \frac{\varepsilon}{\cos(\pi/2\mu)}. \quad (1.4)$$

Это утверждение легко обобщается на  $n$ -мерный случай.

**Лемма.** Если целая функция  $f$  по каждому переменному является целой функцией конечной степени типа не больше  $2\pi\alpha_j$  и для  $x \in M = M_{\mu_1} \times \dots \times M_{\mu_n}$  верно  $|f(x)| \leq \varepsilon$ , то для любых  $x \in R^n$

$$|f(x)| \leq \frac{\varepsilon}{\prod_{j=1}^n \cos(\pi/2\mu_j)}. \quad (1.5)$$

Неравенство (1.5) доказывается повторным применением неравенства Бернштейна (1.4) по каждому переменному.

Интересной в связи с возможными приложениями является задача интерполяции по множеству отсчетов  $M_\rho = \{j\Delta\} \setminus (-\rho, \rho)$ , где  $j = 0, \pm 1, \pm 2, \dots$ ,  $\Delta < 1/2\alpha$ . К этой задаче приводит необходимость борьбы с шумом, сосредоточенным в спектре Фурье финитного сигнала в определенной полосе частот. Кроме того, в связи с проблемами вычислительной томографии [16, 17], при восстановлении пространственной картины землетрясений [18] и в других прикладных задачах возникает необходимость обращения преобразования Радона по неполным данным. Этому вопросу посвящена работа [19], в которой указанное обращение сведено к восстановлению спектра Фурье на прямой, если значения его неизвестны на интервале  $(-\rho, \rho)$ , т. е. к задаче интерполяции спектра Фурье. В этом случае можно воспользоваться формулой (1.2) для множества  $M_\rho$ . При этом важно иметь оценку, аналогичную оценке Бернштейна. Пусть на интервале  $(-\rho, \rho)$  содержится  $p$  точек вида  $j\Delta$ . Число  $p$  четно.

**Предложение 1.** Если целая функция конечной степени типа не больше  $2\pi\alpha$  и для  $x \in M_\rho$  верно  $|f(x)| \leq \varepsilon$ , то для любого  $x \in R^1$

$$|f(x)| \leq C_p \varepsilon, \quad (1.6)$$

где

$$C_p = \frac{(p+1)^{p+1}}{p^p \cos^2 \pi\Delta\alpha \sin[\pi(1-2\alpha\Delta)/2] \prod_{k=1}^{(p-1)/2} \sin^2[\pi(1-2\alpha\Delta)(2k-1)/2p]}. \quad (1.7)$$

**Доказательство.** Рассмотрим целую функцию

$$g(x) = f(x) \prod_{j=-(p-1)/2}^{(p-1)/2} \sin 2\pi\sigma(x - j\Delta),$$

где число  $\sigma > 0$  выбрано так, чтобы  $2\Delta(\rho\sigma + \alpha) < 1$ . Тип этой функции не больше  $2\pi(\rho\sigma + \alpha)$ . Согласно (1.4) для  $x \in R^1$

$$|g(x)| \leq \frac{\varepsilon}{\cos \pi\Delta(\rho\sigma + \alpha) \left| \prod_{j=-(p-1)/2}^{(p-1)/2} \sin 2\pi\sigma(x - j\Delta) \right|}.$$

На множестве  $\tilde{M} = \{\Delta/2 + j\Delta\}$ ,  $j = 0, \pm 1, \pm 2, \dots, \pm(p-1)/2, -(p+1)/2$  справедливо неравенство

$$\left| \prod_{j=-(p-1)/2}^{(p-1)/2} \sin 2\pi\sigma(x - j\Delta) \right| \geq \sin \pi\Delta\sigma \prod_{k=1}^{(p-1)/2} \sin^2 \pi\Delta\sigma(2k-1),$$

для  $x \in M_\rho \cup \tilde{M}$

$$|f(x)| \leq \frac{\varepsilon}{\cos \pi\Delta(\rho\sigma + \alpha) \sin \pi\Delta\sigma \prod_{k=1}^{(p-1)/2} \sin^2 \pi\Delta\sigma(2k-1)}.$$

Далее повторно применяя неравенство (1.4) и учитывая, что

$$p\pi\Delta\sigma < \pi(1 - 2\alpha\Delta)$$

и

$$\begin{aligned} \cos \pi\Delta(\alpha + p\sigma) &\geq (1 - 2p\Delta\sigma/(1 - 2\alpha\Delta)) \cos \pi\Delta\sigma \\ &\times \frac{1}{\prod_{k=1}^{(p-1)/2} \sin^2 [\pi(1 - 2\alpha\Delta)(2k - 1)/2p]}. \end{aligned} \quad (1.8)$$

Знаменатель правой части неравенства (1.8) достигает своего максимума при

$$\sigma = (1 - 2\alpha\Delta)/2(p + 1)\Delta. \quad (1.9)$$

При указанном  $\sigma$  из (1.8) получаем (1.7).

В данной работе проведен вычислительный эксперимент для одномерных сигналов. Имея в виду дальнейшую работу, укажем без доказательства два многомерных обобщения предложения 1.

Обозначим через  $N$  произведение  $n$  равномерных (по отсчетам) множеств вида  $\{j\Delta\}$ ,  $j = 0, \pm 1, \pm 2, \dots$ ,  $\Delta < 1/2\alpha$ . Рассмотрим множество  $M_\rho^n = N \setminus \{x: x_j \in (-\rho, \rho), j = 1, 2, \dots, n\}$ . В следующих двух предложениях предполагается, что  $f$  — по каждому переменному целая функция конечной степени типа не больше  $2p\alpha$  (т. е. для простоты рассматриваем частный случай  $\alpha_1 = \alpha_2 = \dots = \alpha_n = \alpha$ , в общем случае оценки более громоздки).

**Предложение 2.** Если для  $x \in M_\rho^n$  верно  $|f(x)| \leq \varepsilon$ , то для  $x \in R^n$

$$|f(x)| \leq \frac{(p+n)^{p+n} \varepsilon}{n^n p^p \cos^{2n} \pi\Delta\alpha \sin [\pi(1 - 2\alpha\Delta)/2] \prod_{k=1}^{(p-1)/2} \sin^2 [\pi(1 - 2\alpha\Delta)(2k - 1)/2p]}. \quad (1.10)$$

Далее обозначим  $\widetilde{M}_\rho^n = N \setminus \bigcup_{k=1}^n \{x: x_j \in (-\rho, \rho), j = 1, 2, \dots, k-1, k+1, \dots, n\}$ .

**Предложение 3.** Если для  $x \in \widetilde{M}_\rho^n$  верно  $|f(x)| \leq \varepsilon$ , то для всех  $x \in R^n$  справедливо

$$|f(x)| \leq C_p^n \varepsilon, \quad (1.11)$$

где  $C_p$  задано в (1.7).

Заметим, что из (1.10) и (1.11) при  $n = 1$  получается (1.6) и  $C_p$  растет с возрастанием  $\rho$  или  $\Delta$ .

В заключение этого раздела упомянем более тонкую оценку С. Н. Бернштейна, чем (1.5) (см. [15, с. 454]). Если взять  $\sigma$  из (1.9) и применить к функции  $g(x)$  эту оценку, то вместо (1.6) можно получить

$$|f(x)| \leq \frac{L_s \varepsilon}{\cos \pi\Delta\alpha \sin [\pi(1 - 2\alpha\Delta)/2] \prod_{k=1}^{(p-1)/2} \sin^2 [\pi(1 - 2\alpha\Delta)(2k - 1)/2p]}, \quad (1.12)$$

где  $L_s = \frac{1}{s} [1/\sin(\pi/2s) + 1/\sin(3\pi/2s) + \dots + 1/\sin[\pi(2s - 1)/2s]]$ ,

$s$  — целое число, не меньшее чем  $(p + 1)/(1 - 2\alpha\Delta)$ . Можно дать и многомерные обобщения (1.12), рассматривая множества  $M_\rho^n$  или  $\widetilde{M}_\rho^n$  как в предложениях 2 и 3.

**2. Вычислительный эксперимент.** Обсудим вопрос об изменении  $C_p$  (см. (1.7)), если вместо интервала  $(-\rho, \rho)$ , содержащего  $p$  точек отсчета, взять меньший интервал, содержащий  $q$  таких точек. Тогда из (1.7) можно получить

$$2(p+1)^{p+1} p C_q / \pi (q+1) p A(p, q) < C_p < p(p+1)^p C_q / p(q+1) A(p, q), \quad (2.1)$$

$$\int_0^{(p-2-q)/2} \prod \sin^2 [\pi (1 - 2\alpha\Delta) (2k + q) / 2p], \text{ если } q \text{ нечетное;}$$

с финитным спектром: 1) спектр Фурье — отрезок синусоиды с  $\Delta = 2\pi$ ; 2) спектр Фурье — прямоугольник с носителем на отрезке [3, 5]. Эти сигналы относятся к классам  $W_{2\pi,+}^1$  и  $W_{5,+}^1$  соответственно. Для вычислений использовалась конечная сумма из (1.1) (что то же из (1.2)) при  $m = 20$  и  $\sigma = 1$ . Для указанных классов множитель  $\exp [2\pi i \alpha (x_k - x)]$  в (1.1) (в (1.2)) не нужен. Если ранее [3, 4] при вычислительном эксперименте для экстраполяции мы были вынуждены подбирать оптимальные  $m$  и  $\sigma$ , то в данном случае (задача корректна) этого делать не нужно: хорошие результаты получились при первых же взятых  $m$  и  $\sigma$ . Графики разбиты вертикальными линиями на три участка: на первом и третьем было взято по 10 точек отсчета, следует восстановить сигнал на втором. При введении сигналов в точках отсчета с семью точными знаками восстановленный сигнал на графопостроителе не отличался от точного. Аналогично, если в точках отсчета сигнал брался с шестью, пятью, четырьмя точными знаками. Различия заметили, когда взяли сигнал с тремя точными знаками (т. е. допускается случайный шум до 1 %) (рис. 1).

В нашем случае \* соответственно (2.1)

$$68C_4 < C_9 < 422C_4 \quad (2.2)$$

для первого сигнала и

$$50C_4 < C_9 < 307C_4 \quad (2.3)$$

— для второго.

Далее второй интервал был вдвое сокращен (выброшено четыре отсчета вместо девяти). Тогда при трех точных знаках в точках отсчета восстановленный в выброшенном из шкалы отсчетов интервале сигнал не отличался на графике от точного и различие замечено только при двух точных знаках (случайный шум до 9 %) (рис. 2).

При указанных выше вычислениях (с семью, шестью, пятью, четырьмя, тремя точными знаками в точках отсчета) постоянная  $C_9$  для первого сигнала в среднем была равна 505,04172, для второго — 198,42594. При выбрасывании четырех точек отсчета в проведенном эксперименте (с тремя, двумя точными знаками) постоянная  $C_4$  для первого сигнала в среднем была равна 2,8674228, а для второго — 1,3967844. Отношение  $C_9/C_4$  в первом случае 176,1327, во втором — 142,05914, что согласуется с неравенствами (2.2), (2.3).

Заметим, что при фиксированном  $p$  постоянную  $C_p$  можно уменьшить, если взять более частую шкалу используемых отсчетов (уменьшая  $\Delta$ ) (см. (1.7)).

\* В п. 1 выбрасывался из шкалы отсчетов интервал  $(-\rho, \rho)$ . Аналогичные оценки нетрудно получить при выбрасывании любого интервала. В вычислительном эксперименте рассматривались интервалы, не являющиеся симметричными относительно начала координат.

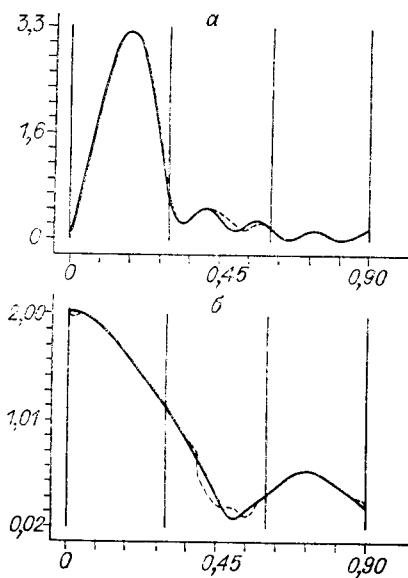


Рис. 1. Сигнал с тремя точными знаками в точках отсчета:

*a* — сигнал, у которого спектр Фурье — отрезок синусоиды; *b* — сигнал, у которого спектр Фурье — прямоугольник. Сплошная линия — точный сигнал, штриховая — интерполированный сигнал

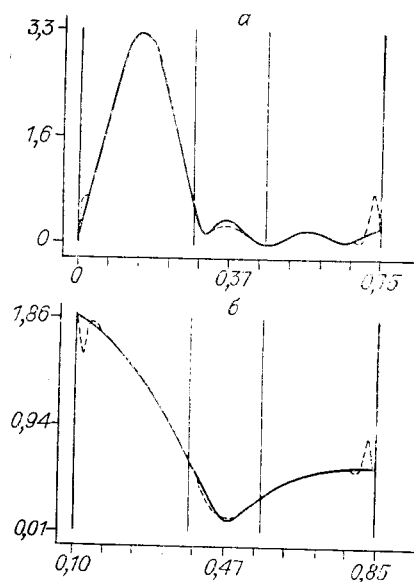


Рис. 2. Отрезок, на котором восстанавливается сигнал, уменьшенный в 2 раза; сигнал с двумя точными знаками в точках отсчета

(*a* и *b* — те же, что на рис. 1)

На рис. 1, 2 видны «выбросы» в самом левом и в самом правом участке рассматриваемого графика, что связано с особенностями формул (1.1) и (1.2) и не может препятствовать их применениям, так как эти «выбросы» находятся не там, где сигнал нужно восстановить, а там, где мы его знаем.

Данный вычислительный эксперимент показывает, что такой метод может успешно применяться для борьбы с узкополосным шумом и в других ситуациях, о которых упоминалось выше.

В заключение авторы благодарят сотрудников ВЦ Института физики СО АН СССР.

#### СПИСОК ЛИТЕРАТУРЫ

1. Айзенберг Л. А. Экстраполяция функций, голоморфных в произведении полуплоскостей или полос. Аналитическое продолжение спектра.— Красноярск, 1986.— (Препр./Ин-т физики им. Л. В. Киренского СО АН СССР; 28М).
2. Айзенберг Л. А. Экстраполяция функций, голоморфных в произведении полуплоскостей или полос. Аналитическое продолжение спектра // ДАН СССР.— 1986.— 290, № 2.
3. Айзенберг Л. А., Кравцов Б. А. Вычислительный эксперимент по аналитическому продолжению спектра Фурье одномерных финитных сигналов.— Красноярск, 1987.— (Препр./Ин-т физики им. Л. В. Киренского СО АН СССР; 34М).
4. Айзенберг Л. А., Кравцов Б. А. Вычислительный эксперимент по сверхразрешению физических приборов экстраполяцией спектра Фурье одномерных финитных сигналов // Письма в ЖТФ.— 1987.— 13, вып. 19.
5. Кравцов Б. А., Миленкова Р. Ф. Реставрация сигналов и сверхразрешение.— Красноярск, 1987.— (Препр./Ин-т физики им. Л. В. Киренского СО АН СССР, 467Ф).
6. Айзенберг Л. А. Множества единственности для классов Винера. Аналог теоремы Котельникова для неравномерных отсчетов. Обращение преобразования Радона по неполным данным.— Красноярск, 1987.— (Препр./Ин-т физики им. Л. В. Киренского СО АН СССР; 38М).
7. Котельников В. А. О пропускной способности «эфира» и проволоки в электросвязи // Мат-лы к I Всесоюз. съезду по вопросам технической реконструкции дела связи.— М.: Управление связи РККА, 1933.
8. Хургин Я. И., Яковлев В. П. Финитные функции в физике и технике.— М.: Наука, 1971.
9. Лаврентьев М. М., Романов В. Г., Шишатский В. П. Некорректные задачи математической физики и анализа.— М.: Наука, 1980.
10. Левин Б. Я. Распределение корней целых функций.— М.: Гостехиздат, 1956.

11. Duffin R. J., Schaeffer A. C. Power series with bounded coefficients // Amer. J. Math.— 1945.— 67, N 5.— P. 141.
12. Левин Б. Я. О функциях конечной степени, ограниченных на последовательности точек // ДАН СССР.— 1949.— 65, № 3.
13. Левин Б. Я. Обобщение теоремы Картрайт о целой функции конечной степени, ограниченной на последовательности точек // Изв. АН СССР. Математика.— 1957.— 21, № 4.
14. Логвиненко В. Н. Теоремы Картрайт и вещественные множества единственности для целых функций многих комплексных переменных // Теория функций, функциональный анализ и их приложения.— 1957.— № 22.
15. Бернштейн С. Н. Собр. соч.— М.: Изд-во АН СССР, 1954.— Т. II.
16. Davidson M. E., Grünbaum F. A. Tomographic reconstruction with arbitrary directions // Comm. Pure Appl. Math.— 1981.— 34.— P. 77.
17. Natterer F. Some ill-problems arising in connection with Radon's integral equation // Publ. Ystituto di analisi globale e applic.— 1983.— N 8.
18. Ruff L. T. Tomographic imaging of the earthquake rupture process // Geophys. Res. Lett.— 1984.— 11, N 7.— P. 629.
19. Palamodov V., Denisjuk A. Inversion de transformation de Radon' d'apres les donn' ee non-completes // Comp. rend. L'acad. scien.— 1988.— 307, N 1.— P. 181.

*Поступила в редакцию 4 июля 1988 г.*

УДК 62.505

**К. В. ИСАЕВ**  
(Ростов-на-Дону)

### О СВОБОДНЫХ ОТ СИЛЬНЫХ АПРИОРНЫХ ГИПОТЕЗ МЕТОДАХ ИДЕНТИФИКАЦИИ СИСТЕМ

**Введение.** Формирование априорных гипотез, как отмечается в [1], является ключевым моментом при разработке методов идентификации систем. Предлагаемые в настоящей статье методы не используют некоторые из широко распространенных, но плохо обоснованных сильных априорных гипотез, а основываются на значительно более слабых и естественных гипотезах. Формирование и проверка таких гипотез производится путем анализа данных метрологических экспериментов, проводимых на эталонных (образцовых) системах (объектах) в тех же условиях, в каких получены обрабатываемые с целью идентификации данные основного эксперимента. Таким образом, главная задача обработки данных и побочная задача ее метрологического обеспечения оказываются тесно связанными.

**Стандартные априорные гипотезы.** Исходными понятиями в теории идентификации систем, не определяемыми через более простые, естественно считать понятия эмпирических данных  $\tilde{x}$ ,  $\tilde{x} \in X$ , и модели системы  $c$ ,  $c \in C$ ,  $C \subset U$  (пространства  $X$  и  $U$  уточняются для каждой конкретной задачи идентификации). Эмпирические (доступные исследователю) данные  $\tilde{x}$  всегда неточны и формируются из точных данных  $x$ ,  $x \in X$ , не доступных исследователю, и шума  $\varepsilon$  (например, по формуле  $\tilde{x} = x + \varepsilon$ ). Цель идентификации — определение по данным  $\tilde{x}$  некоторых моделей  $c$  исследуемой системы, на которой эти данные получены.

Решение задачи идентификации всегда определяется при некоторых дополнительных ограничениях, устанавливающих связь между моделью  $c$  и точными данными  $x$ . Эти ограничения обычно задаются с помощью параметрического семейства соотношений, называемого классом моделей системы и имеющего вид

$$\{F(\cdot, \cdot, c) = 0, \quad c \in C\}, \quad (1)$$

где  $F(\cdot, \cdot, c)$  — функция типа  $X \times W \rightarrow V$ , определенная с точностью до параметра  $c$ ;  $W$  и  $V$  — некоторые, обычно линейные, метрические прост-